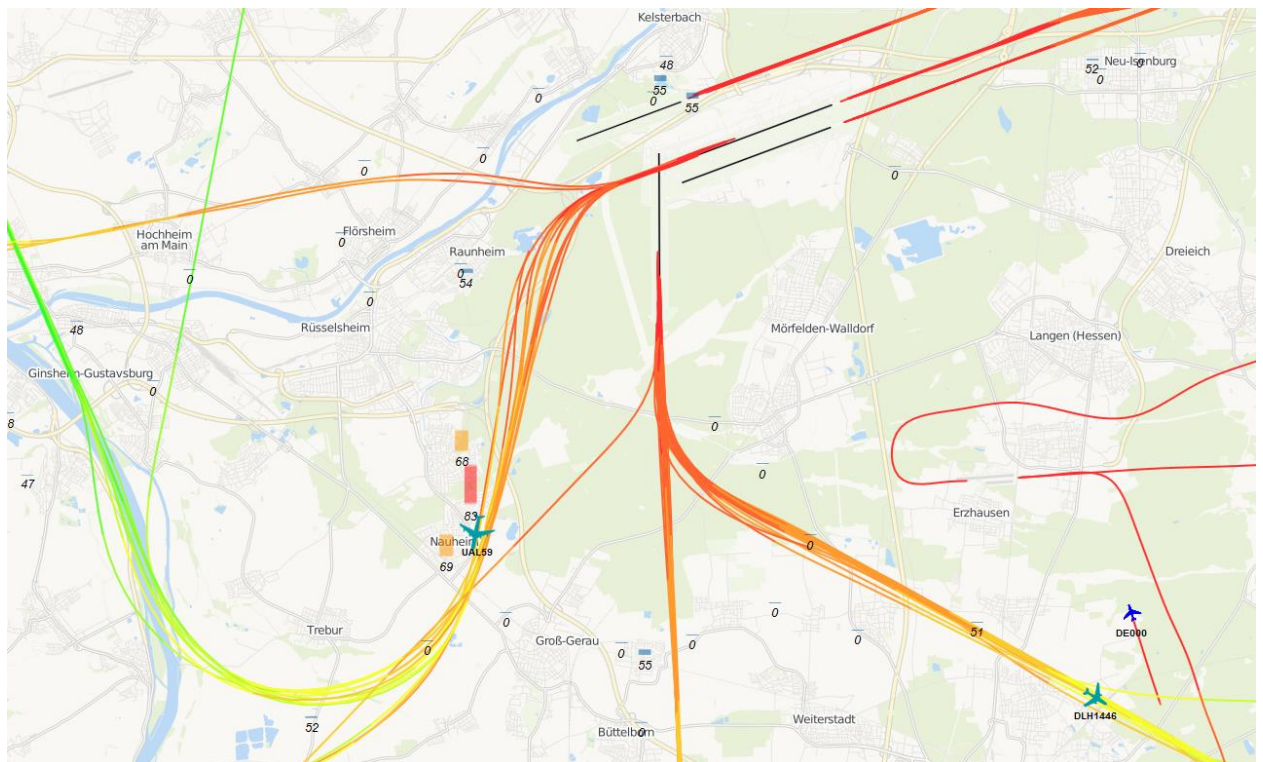


Auswertung der Überflüge sowie der Fluggeräuschmessdaten des MP-304 in Nauheim

Berichtszeitraum: Januar 2022 – März 2022 | Stand 08.06.2022



Inhalt

1	Einführung	4
1.1	Messsystem deBAKOM	4
1.2	Erläuterung der verschiedenen Pegel (Abkürzungen)	4
1.3	Standort der Messstation	5
2	Überflughöhen	7
2.1	Auswertungsmethode und Erfassungsrate	7
2.2	Bahnnutzung bzgl. Starts	9
2.3	Ausfallzeiten	9
2.4	Abflughöhen bei Betriebsrichtung 18	11
2.5	Abflughöhen bei Betriebsrichtung 25	12
3	Fluggeräuschereignisse	15
4	Fluggeräuschpegel	16
4.1	Maximalpegelverteilung	16
4.2	Leq- und NAT-Auswertung	18
4.3	Jahresübersicht 2022	21

Anlagen

Anlage 1: Geräuschklassifikation der Firma deBAKOM

Abbildungsverzeichnis

Abb. 1: Standort der Messstation MP-304 (Quelle: Google Maps)	5
Abb. 2: BR18 - Identifizierte Abflüge im März 2022, Vorderansicht (Quelle: Bing Maps)	7
Abb. 3: BR18 - Identifizierte Abflüge im März 2022, Draufsicht (Quelle: Bing Maps)	8
Abb. 4: BR25 - Identifizierte Abflüge im März 2022, Vorderansicht (Quelle: Bing Maps)	8
Abb. 5: BR25 - Identifizierte Abflüge im März 2022, Draufsicht (Quelle: Bing Maps)	9
Abb. 6: Boxplots - Abflughöhen bei Betriebsrichtung 18	12
Abb. 7: Boxplots - Abflughöhen bei Betriebsrichtung 25	13
Abb. 8: Anzahl Fluggeräuscheignisse (Tag und Nacht)	15
Abb. 9: Maximalpegelverteilung am Tag (Fluggeräusch)	16
Abb. 10: Maximalpegelverteilung in der Nacht (Fluggeräusch)	17
Abb. 11: L_{DIN} Tag und Nacht	18
Abb. 12: NAT68 und NAT72	19
Abb. 13: L_{eq} Tag und Nacht	19
Abb. 14: L_{95} Tag und Nacht	20

1 Einführung

1.1 Messsystem deBAKOM

Wesentliche Komponenten des Messsystems sind eine wetterfeste und beheizte Mikrofoneinheit (Klasse 1 Mikrofon) mit Windschirm, eine Wetterstation sowie ein Messrechner. Bei Windgeschwindigkeiten im Mittel > 5 m/s werden alle Geräusche ausgeblendet, um die Erfassung von Störgeräuschen zu verhindern. Die Daten werden im Messrechner erfasst und stündlich an das Umwelt- und Nachbarschaftshaus (UNH) übertragen.

Für die Geräuschauswertung wird eine spezielle Software eingesetzt, die eine 2-stufige Erkennung durchführt: 1. Stufe ist die Erkennung auf Grund physikalischer Parameter nach DIN 45643 (Messung und Beurteilung von Fluggeräuschen) d.h. der Schallpegel eines Fluggeräuschereignisses muss z.B. einen Messschwellenpegel um mindestens einen bestimmten Betrag übersteigen; 2. Stufe ist eine detaillierte Erkennung anhand einer Korrelationsanalyse mit Musterspektren (s. Anlage). Diese werden mit Hilfe von Audioaufzeichnungen aus für den Messort typischen Fluggeräuschereignissen erstellt. Als 3. Stufe werden die erkannten Fluggeräuschereignisse mit den FANOMOS-Daten (Radarspuren) der Deutschen Flugsicherung (DFS) korreliert. Falls diese Prüfkriterien alle zueinander passen, wird das Ereignis als Fluggeräuschereignis deklariert und fließt in die Fluggeräuschauswertung ein.

1.2 Erläuterung der verschiedenen Pegel (Abkürzungen)

$L_{DIN,T}$ = Fluggeräusch L_{eq} (nach DIN 45643 vom Februar 2011) (Tag 06:00 - 22:00 Uhr).

$L_{DIN,N}$ = Fluggeräusch L_{eq} (nach DIN 45643 vom Februar 2011) (Nacht 22:00 - 06:00 Uhr).

$L_{eq,T}$ = L_{eq} aller Geräusche (Tag 06:00 - 22:00 Uhr).

$L_{eq,N}$ = L_{eq} aller Geräusche (Nacht 22:00 - 06:00 Uhr).

$L_{95,T}$ = L_{eq} aller Geräusche der zu 95% der Beurteilungszeit überschritten ist (Tag 06:00 - 22:00 Uhr).

$L_{95,N}$ = L_{eq} aller Geräusche der zu 95% der Beurteilungszeit überschritten ist (Nacht 22:00 - 06:00 Uhr).

NAT68 = Anzahl der Fluggeräuschereignisse die 68 dB(A) überschreiten (Nacht 22:00 - 06:00 Uhr).

NAT72 = Anzahl der Fluggeräuschereignisse die 72 dB(A) überschreiten (Nacht 22:00 - 06:00 Uhr).

1.3 Standort der Messstation

Die Messstation auf dem Dach des Kindergartens an der Schwanenstraße in Nauheim wurde am 3. August 2017 in Betrieb genommen. Die Koordinaten des Standortes (MP-304) lauten: 32 U 461653; 5533917 [UTM]. Die Messhöhe des Mikrofons beträgt 3 m über dem Dach des Hauses (ca. 9 m ü. Grund).

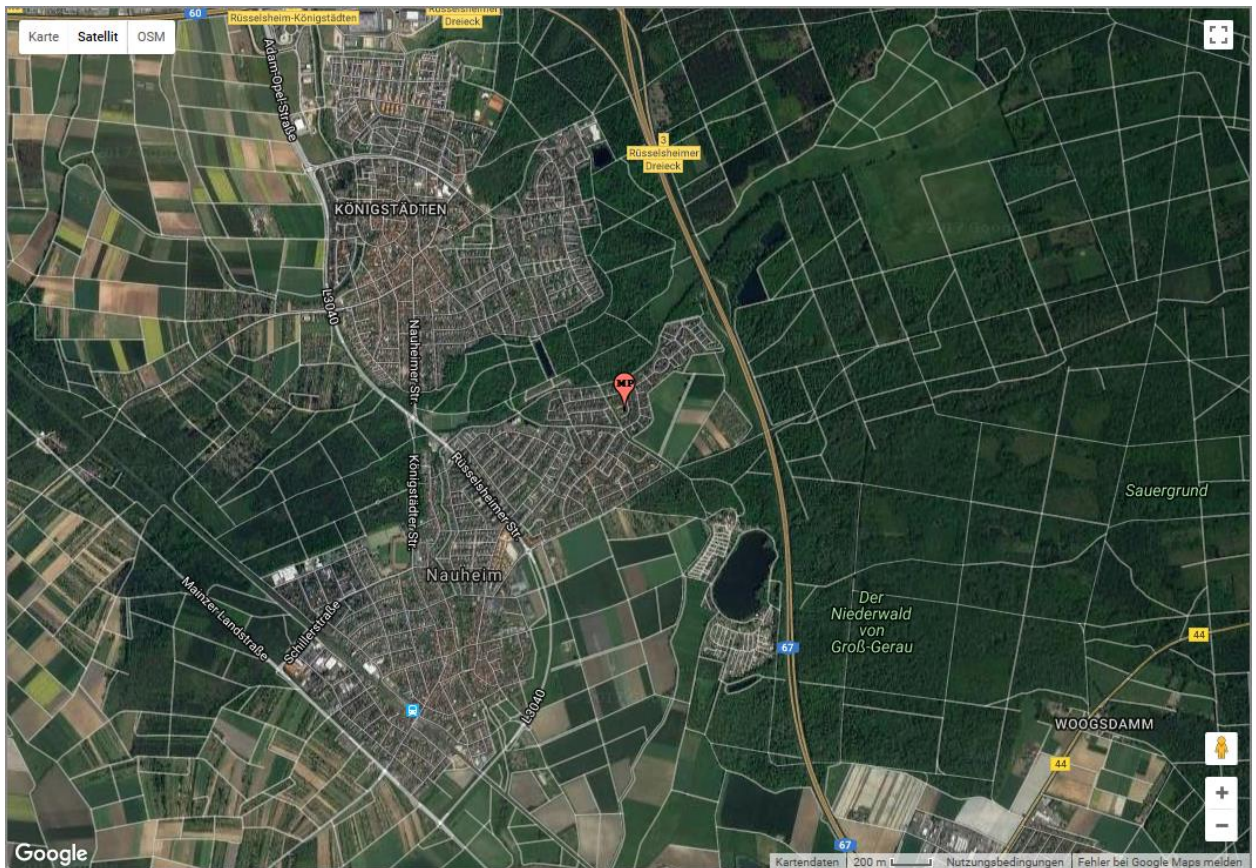


Abb. 1: Standort der Messstation MP-304 (Quelle: Google Maps)

Diese Auswertung umfasst Daten vom 1. Januar 2022 bis zum 31. März 2022.

Auswertung der Überflüge über Nauheim



2 Überflughöhen

2.1 Auswertungsmethode und Erfassungsrate

Die Auswertebereiche für die Überflüge über dem MP-304 haben folgende Ausdehnungsmaße:

- **Abflüge (BR18):** Breite jeweils 1852 m (1 NM) links und rechts der Station; die Auswertungshöhe beträgt maximal 4500 m über NN (MSL), die Ausrichtung des Tors beträgt 230°.

- **Abflüge (BR25):** Breite jeweils 1852 m (1 NM) links und rechts der Station; die Auswertungshöhe beträgt maximal 4500 m über NN (MSL), die Ausrichtung des Tors beträgt 196°.

	Anzahl der Flüge durch die o.g. Tore	Anzahl der erfassten Fluggeräuschereignisse	Prozentualer Anteil der erfassten Fluggeräuschereignisse
Abflüge (BR18)	203	187	92,12%
Abflüge (BR25)	3576	2482	69,41%

Zur Übersicht werden die Abbildungen der „Durchflugtore“ im März 2022 für BR18 und BR25 dargestellt. Es sind nur Flüge bis 13500 ft enthalten und die die o.g. Prüfkriterien 1 bis 3 erfüllt haben. Flüge die zu diesem Zeitpunkt höher als 13500 ft über dem Standort waren, sind in den FANOMOS-Daten, die das UNH erhält, nicht enthalten.

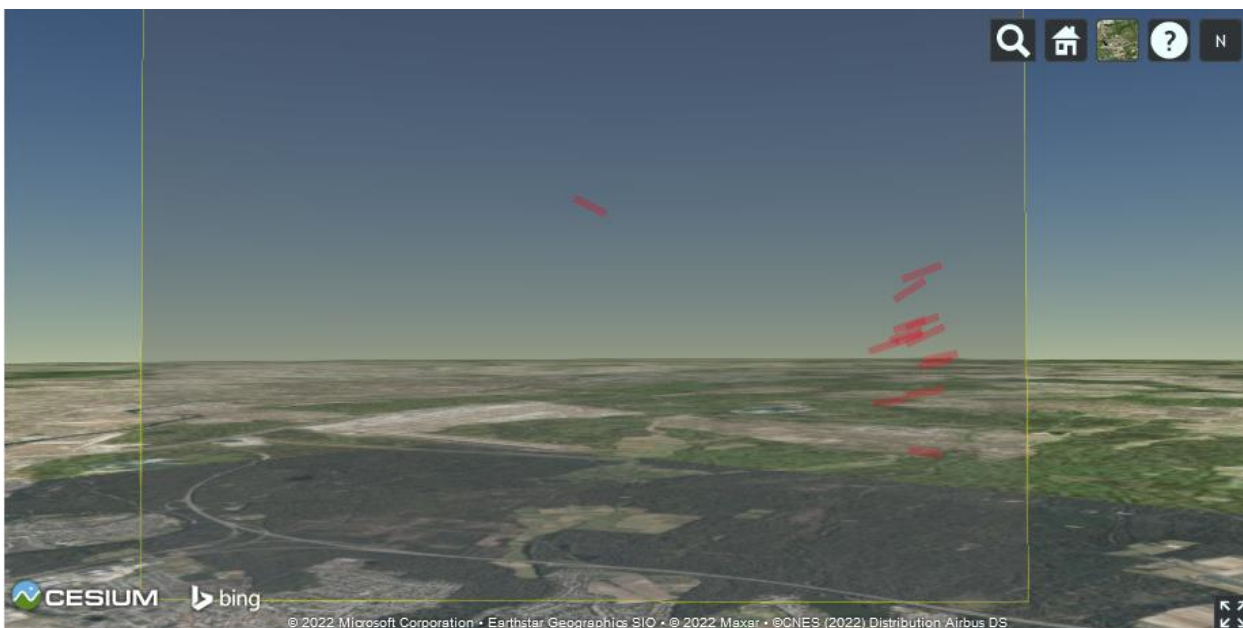


Abb. 2: BR18 - Identifizierte Abflüge im März 2022, Vorderansicht (Quelle: Bing Maps)



Abb. 3: BR18 - Identifizierte Abflüge im März 2022, Draufsicht (Quelle: Bing Maps)

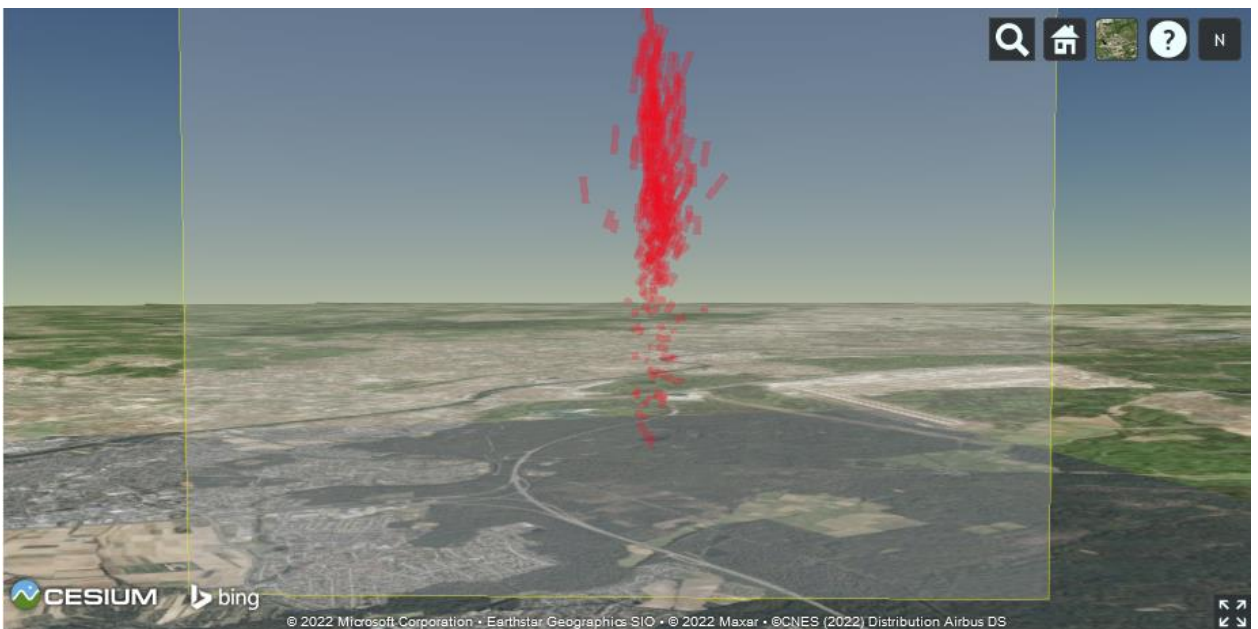


Abb. 4: BR25 - Identifizierte Abflüge im März 2022, Vorderansicht (Quelle: Bing Maps)

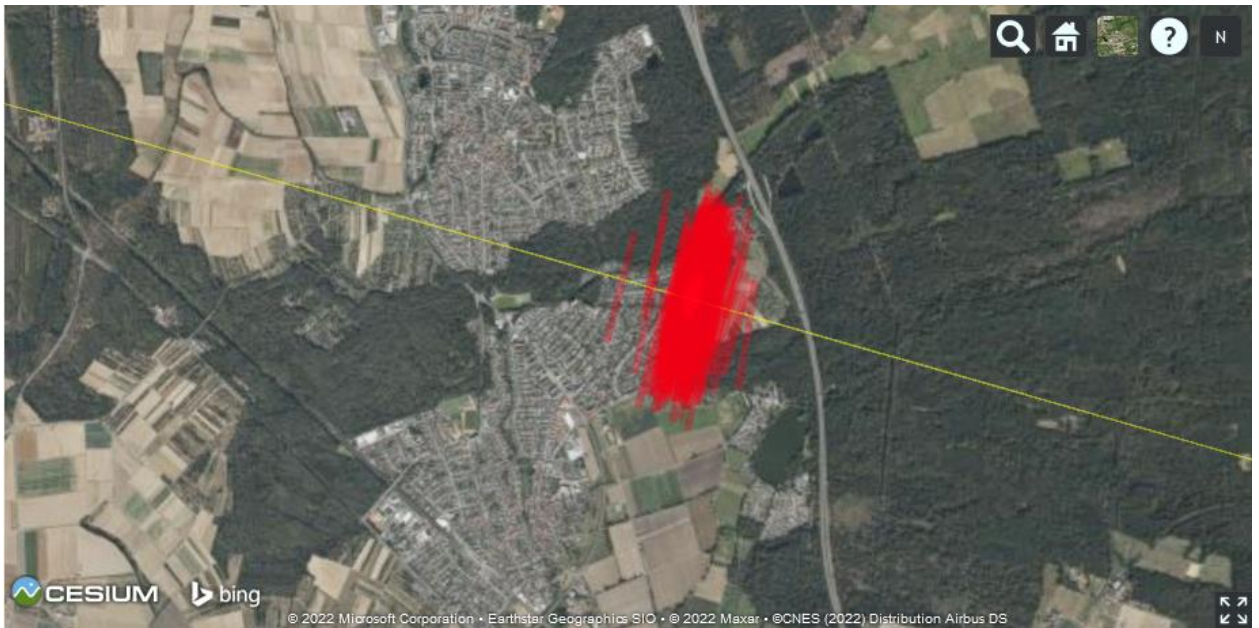


Abb. 5: BR25 - Identifizierte Abflüge im März 2022, Draufsicht (Quelle: Bing Maps)

2.2 Bahnnutzung bzgl. Starts

Bahnnutzung* in [%]	BR07		BR18	BR25		Monatlicher Durchschnitt		
	RWY 07R	RWY 07C	RWY 18	RWY 25C	RWY 25L	BR07	BR18	BR25
Januar	1,22%	3,85%	58,85%	33,06%	3,02%	5,07%	58,85%	36,08%
Februar	0,50%	6,08%	55,26%	35,18%	2,98%	6,58%	55,26%	38,16%
März	3,41%	42,96%	48,73%	4,46%	0,43%	46,37%	48,73%	4,89%

*Die Prozentsätze der Bahnnutzung bzgl. Starts beziehen sich auf den ganzen Monat.

2.3 Ausfallzeiten

Beginn	Ende	Ausfallzeit in Std.	Ausfallgrund
02.01.2022 22:00	03.01.2022 05:59	8 h	Windgeschwindigkeit
03.01.2022 14:00	03.01.2022 15:59	2 h	Windgeschwindigkeit
04.01.2022 03:00	04.01.2022 04:59	2 h	Windgeschwindigkeit
05.01.2022 04:00	05.01.2022 15:59	12 h	Windgeschwindigkeit
08.01.2022 19:00	09.01.2022 14:59	20 h	Windgeschwindigkeit

12.01.2022 23:00	12.01.2022 23:29	0,5 h	Technische Störung
15.01.2022 04:00	15.01.2022 04:59	1 h	Technische Störung
17.01.2022 12:00	17.01.2022 13:59	2 h	Windgeschwindigkeit
19.01.2022 12:00	19.01.2022 14:59	3 h	Windgeschwindigkeit
20.01.2022 00:00	20.01.2022 18:59	19 h	Windgeschwindigkeit
21.01.2022 11:00	22.01.2022 07:59	21 h	Windgeschwindigkeit
27.01.2022 06:00	27.01.2022 13:59	8 h	Nachbarschaftslärm
27.01.2022 18:00	27.01.2022 21:59	4 h	Windgeschwindigkeit
28.01.2022 07:00	28.01.2022 14:59	8 h	Nachbarschaftslärm
29.01.2022 05:00	30.01.2022 17:59	37 h	Windgeschwindigkeit
31.01.2022 07:00	01.02.2022 18:59	36 h	Windgeschwindigkeit
02.02.2022 01:00	02.02.2022 13:59	13 h	Windgeschwindigkeit
03.02.2022 15:00	03.02.2022 16:59	2 h	Windgeschwindigkeit
04.02.2022 12:00	04.02.2022 22:59	11 h	Windgeschwindigkeit
05.02.2022 13:00	05.02.2022 16:59	4 h	Windgeschwindigkeit
06.02.2022 01:00	07.02.2022 17:59	41 h	Windgeschwindigkeit
08.02.2022 09:00	08.02.2022 14:59	6 h	Windgeschwindigkeit
10.02.2022 11:00	10.02.2022 17:59	7 h	Windgeschwindigkeit
11.02.2022 10:00	11.02.2022 15:59	6 h	Windgeschwindigkeit
15.02.2022 11:00	15.02.2022 15:59	5 h	Windgeschwindigkeit
16.02.2022 01:00	16.02.2022 02:59	2 h	Windgeschwindigkeit
16.02.2022 08:00	22.02.2022 23:59	160 h	Windgeschwindigkeit
24.02.2022 12:00	24.02.2022 19:59	8 h	Windgeschwindigkeit
25.02.2022 10:00	25.02.2022 18:59	9 h	Windgeschwindigkeit
27.02.2022 11:00	27.02.2022 16:59	6 h	Windgeschwindigkeit
01.03.2022 04:00	01.03.2022 04:59	1 h	Technische Störung
02.03.2022 09:00	02.03.2022 10:59	2 h	Windgeschwindigkeit
06.03.2022 13:00	07.03.2022 17:59	29 h	Windgeschwindigkeit
08.03.2022 11:00	08.03.2022 17:59	7 h	Windgeschwindigkeit
10.03.2022 14:00	10.03.2022 16:59	3 h	Windgeschwindigkeit
11.03.2022 08:00	11.03.2022 15:59	8 h	Windgeschwindigkeit
14.03.2022 03:00	14.03.2022 14:59	12 h	Windgeschwindigkeit
16.03.2022 06:00	16.03.2022 10:59	5 h	Windgeschwindigkeit
17.03.2022 12:00	17.03.2022 14:59	3 h	Windgeschwindigkeit
17.03.2022 23:00	18.03.2022 23:59	25 h	Windgeschwindigkeit
19.03.2022 08:00	20.03.2022 00:59	17 h	Windgeschwindigkeit
20.03.2022 12:00	20.03.2022 13:59	2 h	Windgeschwindigkeit

22.03.2022 08:00	22.03.2022 10:59	3 h	Windgeschwindigkeit
25.03.2022 17:00	25.03.2022 17:59	1 h	Windgeschwindigkeit
26.03.2022 09:00	26.03.2022 09:59	1 h	Windgeschwindigkeit
26.03.2022 17:00	26.03.2022 17:59	1 h	Windgeschwindigkeit
31.03.2022 17:00	31.03.2022 17:59	1 h	Windgeschwindigkeit

2.4 Abflughöhen bei Betriebsrichtung 18

Bei den Auswertungen der Abflughöhen wurden nur Flüge betrachtet, die durch die o.a. „Durchflugtore“ geflogen sind, die o.g. Prüfkriterien 1 bis 3 erfüllt haben und am Frankfurter Flughafen (EDDF) gestartet sind.

Höhe (MSL) in [ft] bei BR18		Januar	Februar	März
Mittelwert		3490	3617	3429
Standardfehler des Mittelwerts		86	113	166
95% Konfidenzintervall des Mittelwerts	Untergrenze	3320	3391	3071
	Obergrenze	3660	3843	3788
5% getrimmtes Mittel		3432	3586	3454
Median		3351	3480	3534
Varianz		787975	847392	385433
Standardabweichung		888	921	621
Minimum		1869	1915	2033
Maximum		6583	6179	4388
Spannweite		4714	4264	2355
Interquartilbereich		1091	939	844
Schiefe		1,10	0,50	-0,71
Kurtosis		1,96	0,37	0,62
Anzahl Ereignisse:		107	66	14

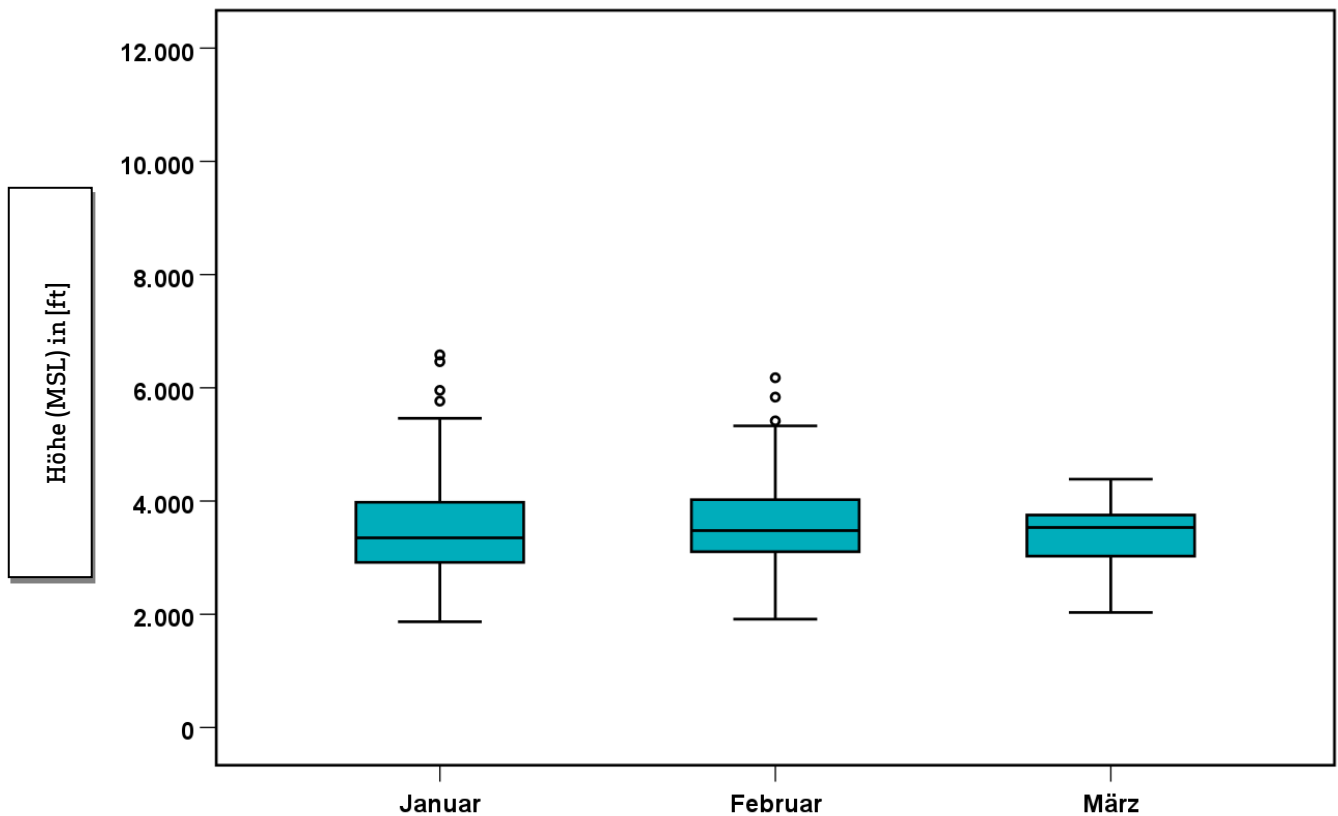


Abb. 6: Boxplots - Abflughöhen bei Betriebsrichtung 18

2.5 Abflughöhen bei Betriebsrichtung 25

Höhe (MSL) in [ft] bei BR25	Januar	Februar	März
Mittelwert	5499	5746	5250
Standardfehler des Mittelwerts	33	49	69
95% Konfidenzintervall des Mittelwerts	Untergrenze	5433	5650
	Obergrenze	5564	5841
5% getrimmtes Mittel	5526	5775	5273
Median	5676	5872	5392
Varianz	1722539	1542611	1294862
Standardabweichung	1312	1242	1138
Minimum	1860	2688	2224
Maximum	9542	9100	9111
Spannweite	7682	6412	6887
Interquartilbereich	1584	1506	1259
Schiefe	-0,44	-0,47	-0,41
Kurtosis	-0,17	-0,16	0,52
Anzahl Ereignisse:	1559	652	271

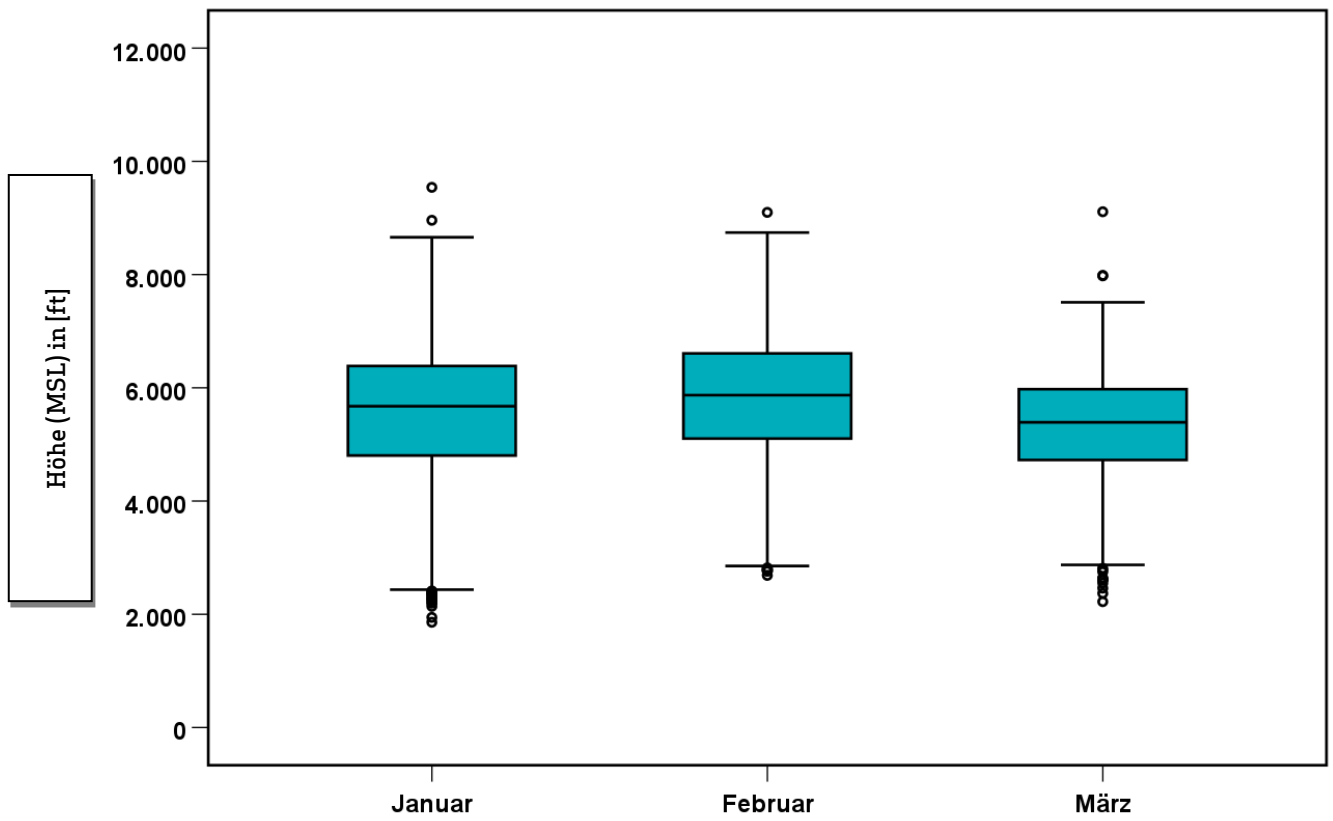


Abb. 7: Boxplots - Abflughöhen bei Betriebsrichtung 25

Auswertung der Fluggeräuschmessstation (MP-304)



3 Fluggeräuscheignisse

„Ereignisse“ sind die von der Software der Station als Fluggeräuscheignis erkannten Pegel. Die Erkennung der Ereignisse basiert in Schritt 1 auf den Kriterien der DIN 45643, in Schritt 2 auf der Geräuschklassifikation der Firma deBAKOM (s. Anhang) und in Schritt 3 auf eine Korrelation mit den FANOMOS-Daten der DFS.

Die Tabelle zeigt die registrierten Fluggeräuscheignisse (Fluglärmereignisse) an der Station sowie die Anzahl der identifizierten Überflüge über die Station. Überflüge, die von der Station nicht als Ereignisse erkannt werden, sind in dieser Auswertung nicht enthalten.

	Anzahl der Ereignisse		Anzahl gesamt
	Tag 06:00 – 22:00 Uhr	Nacht 22:00 – 06:00 Uhr	BR18 & BR25
Januar	1561	105	1666
Februar	670	48	718
März	257	28	285

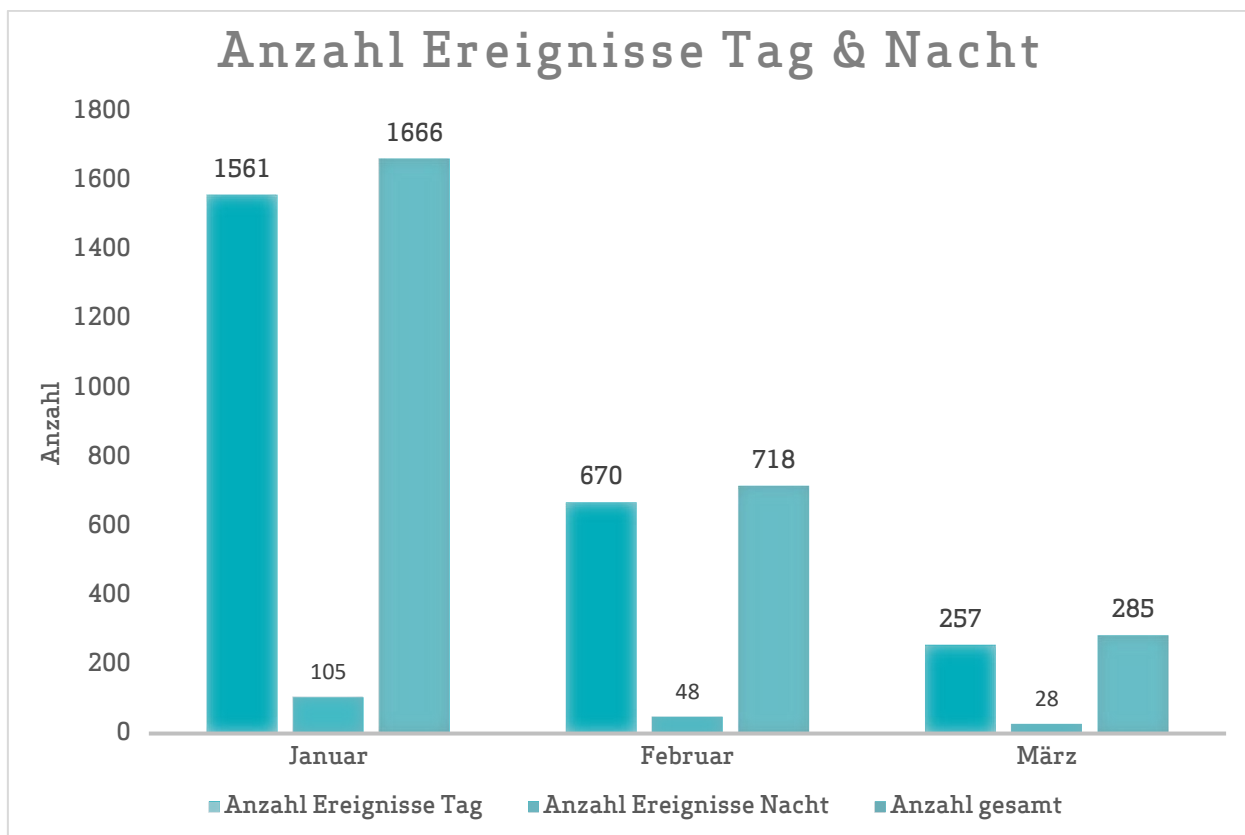


Abb. 8: Anzahl Fluggeräuscheignisse (Tag und Nacht)

4 Fluggeräuschpegel

4.1 Maximalpegelverteilung

Maximalpegelverteilung am Tag (06:00 bis 22:00 Uhr)

	55 - 60 dB(A)	60 - 65 dB(A)	65 - 70 dB(A)	70 - 75 dB(A)	75 - 80 dB(A)	80 - 85 dB(A)
Januar	111	733	392	145	150	30
Februar	36	320	161	84	63	6
März	10	123	84	10	24	6

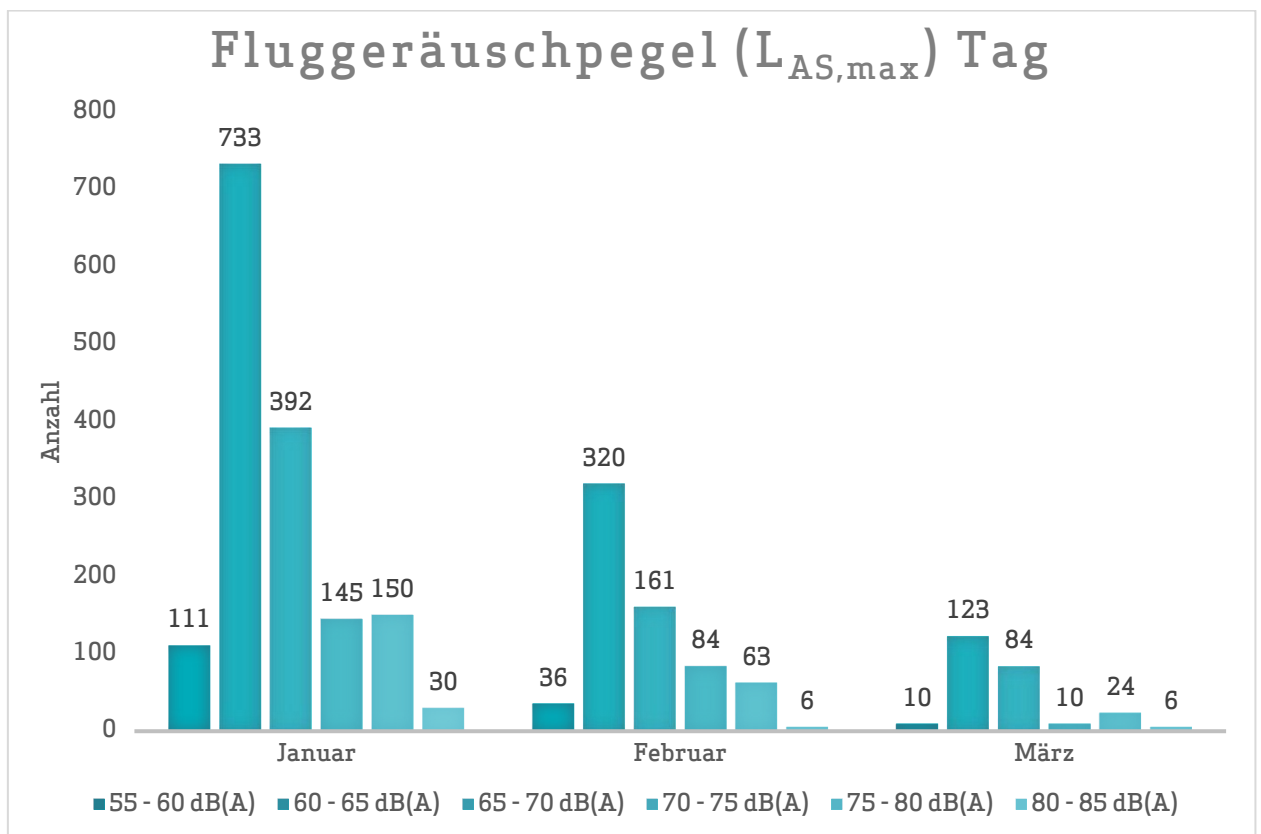


Abb. 9: Maximalpegelverteilung am Tag (Fluggeräusch)

Maximalpegelverteilung in der Nacht (22:00 bis 06:00 Uhr)

	55 - 60 dB(A)	60 - 65 dB(A)	65 - 70 dB(A)	70 - 75 dB(A)	75 - 80 dB(A)
Januar	8	58	24	11	4
Februar	6	20	11	8	3
März	0	15	11	2	0

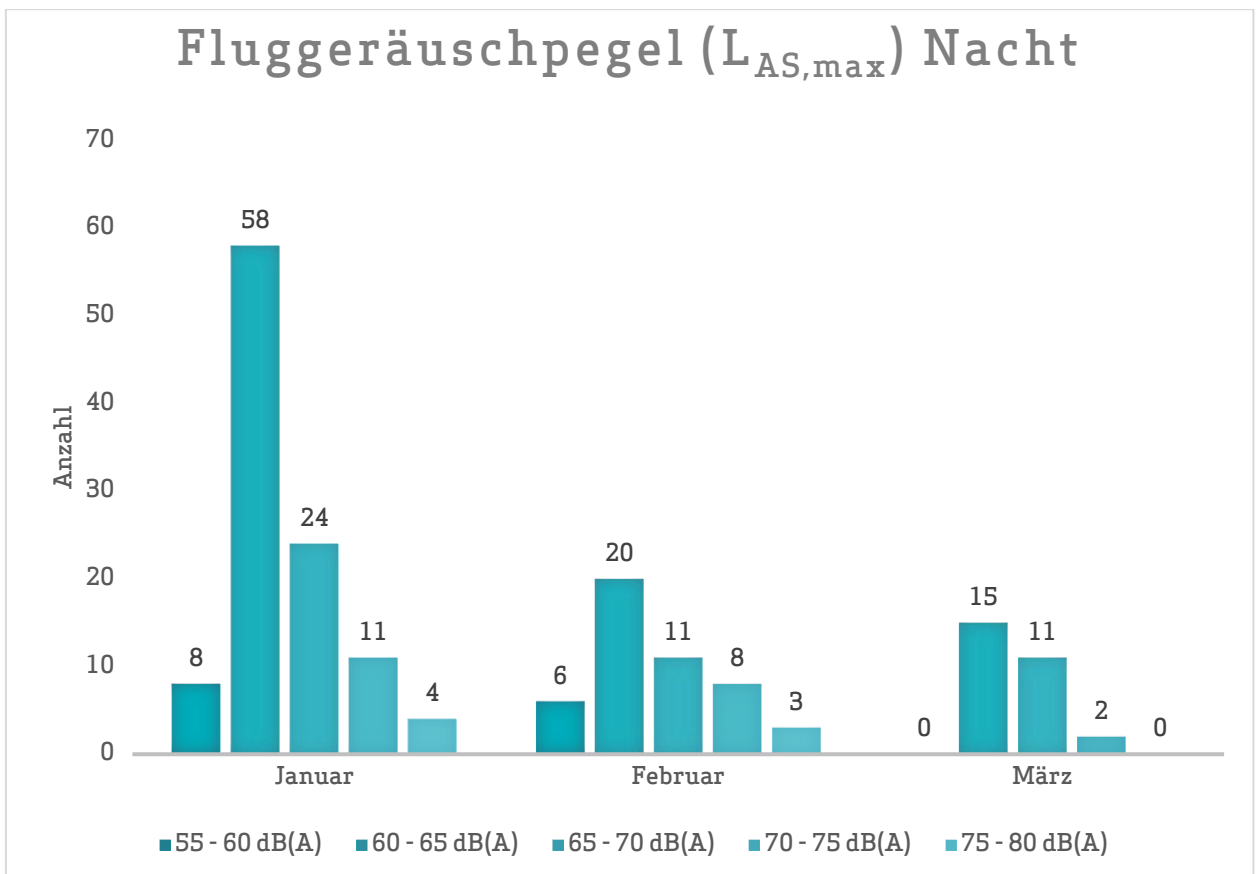


Abb. 10: Maximalpegelverteilung in der Nacht (Fluggeräusch)

4.2 Leq- und NAT-Auswertung

in dB(A)	$L_{DIN,T}$	$L_{DIN,N}$	NAT68*	NAT72*	$L_{eq,T}$	$L_{eq,N}$	$L_{95,T}$	$L_{95,N}$
Januar	52,8	41,3	18	11	56,1	51,4	45,3	39,9
Februar	51,5	40,6	13	10	63,1	54,3	46,5	42,5
März	44,7	34,1	5	1	61,6	48,1	46,5	44,2

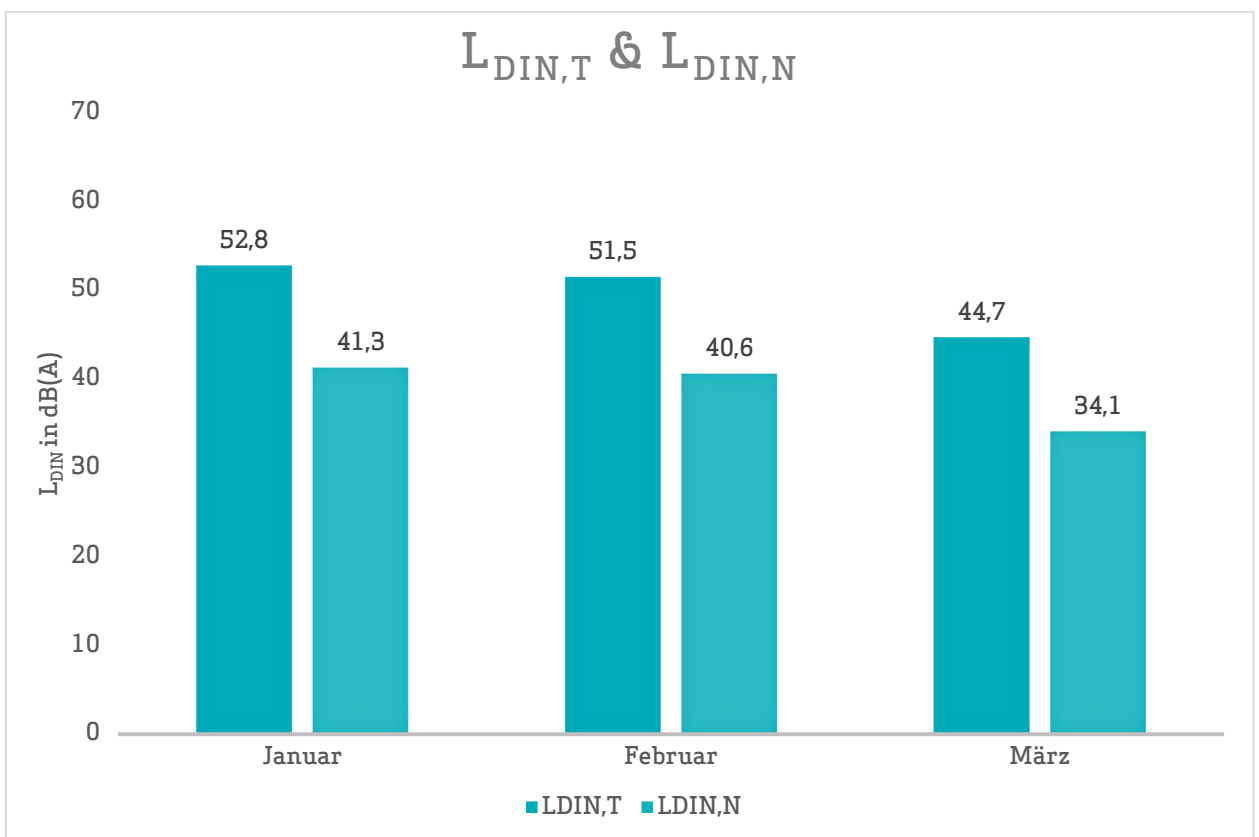


Abb. 11: L_{DIN} Tag und Nacht

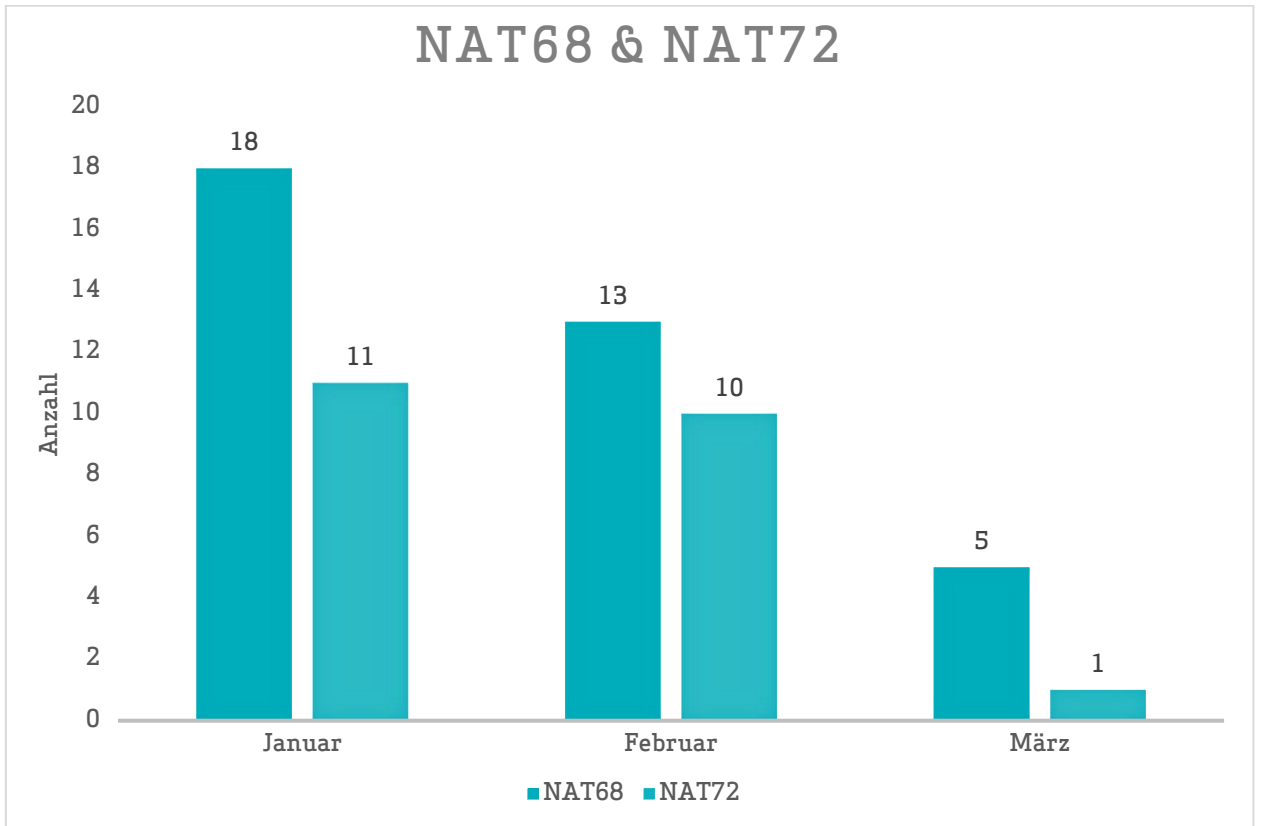


Abb. 12: NAT68 und NAT72

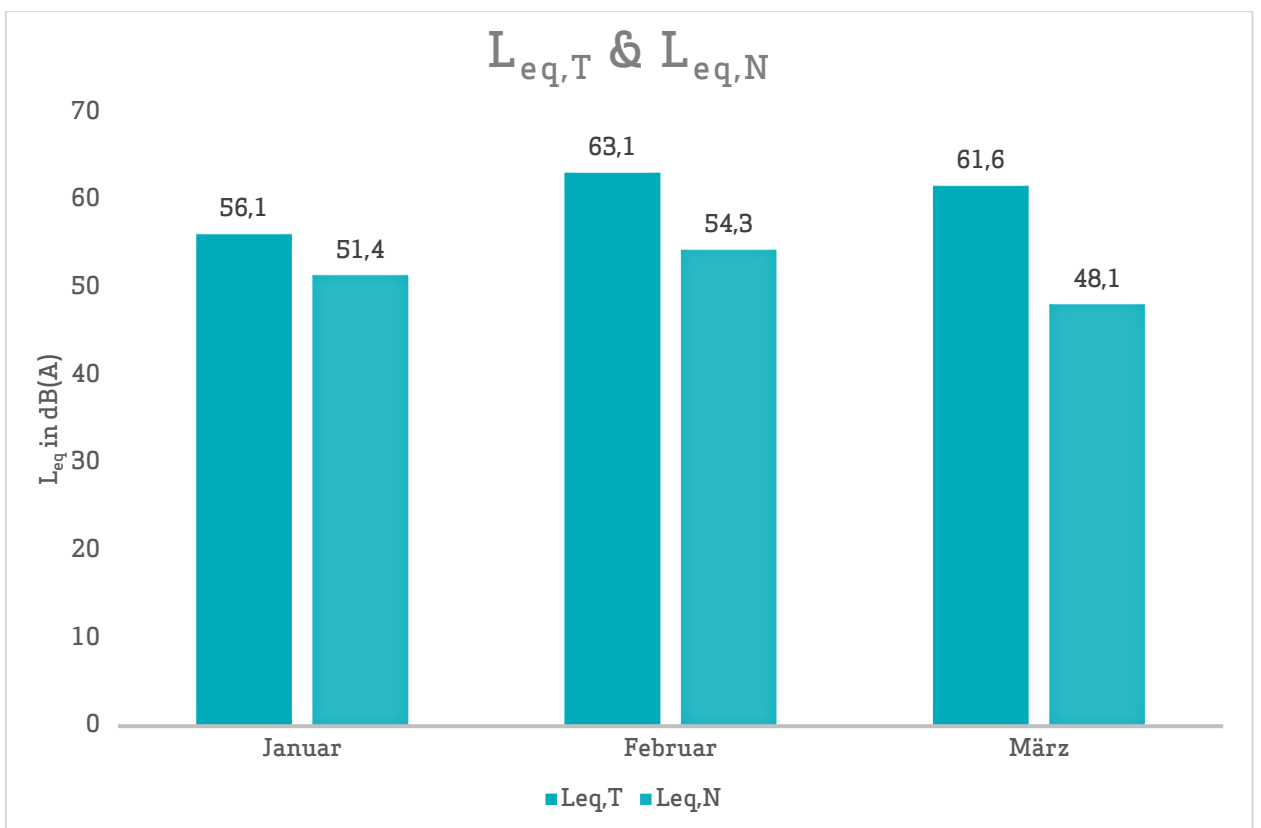


Abb. 13: L_{eq} Tag und Nacht

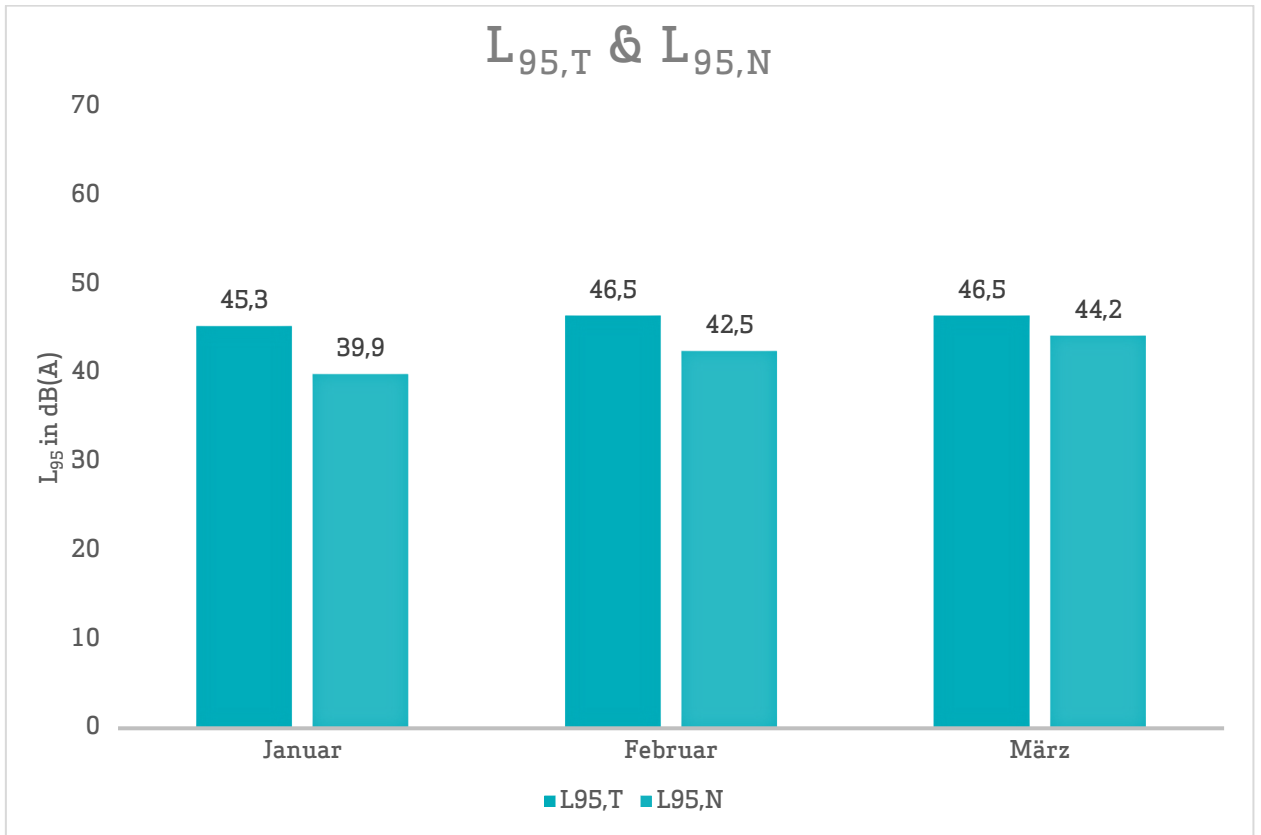


Abb. 14: L₉₅ Tag und Nacht

4.3 Jahresübersicht 2022

in dB(A)	L _{DIN,T}	L _{DIN,N}	NAT68*	NAT72*	L _{eq,T}	L _{eq,N}	L _{95,T}	L _{95,N}
Januar	52,8	41,3	18	11	56,1	51,4	45,3	39,9
Februar	51,5	40,6	13	10	63,1	54,3	46,5	42,5
März	44,7	34,1	5	1	61,6	48,1	46,5	44,2
April								
Mai								
Juni								
Juli								
August								
September								
Oktober								
November								
Dezember								

* Hierbei handelt es sich um einen gemessenen Wert, der nicht nach Fluglärmschutzgesetz zur Definition von Fluglärmschutzzonen heranzuziehen ist.

Herausgeber Umwelt- und Nachbarschaftshaus | Gemeinnützige Umwelthaus GmbH
Rüsselsheimer Str. 100 | 65451 Kelsterbach | www.umwelthaus.org

Fluglärmmessung mit automatischer Geräuschklassifikation

D.Hemmer¹, D. Knauß², C. Pörschmann¹

¹ Fachhochschule Köln, 50679 Köln - e-mail: dominic.hemmer@fh-koeln.de

² deBAKOM GmbH, 51519 Odenthal

Einleitung

Bei der Messung von Flugzeuggeräuschen ist mit einer Beeinflussung des Fluglärmpegels durch verschiedene Fremdgeräusche zu rechnen. Zur Trennung dieser Ereignisse gibt es unter anderem die Möglichkeit der Klassifizierung durch Mustererkennung oder Korrelationsanalyse, die eine getrennte Betrachtung der auftretenden Schallereignisse ermöglicht. In der hier vorgestellten Untersuchung geht es in erster Linie um die Auswirkung verschiedener Erkennungsmethoden auf den Mittelungspegel und weniger um die Fehlerraten bei der Erkennung der Anzahl an Flugzeugen.

Vergleich zweier Methoden

Zur Geräuschidentifikation von Flugzeugen wurde an der Fachhochschule Köln ein Algorithmus entwickelt, mit dem es möglich ist, Flugzeuggeräusche zu identifizieren (Methode 1) [1]. Im Rahmen eines gemeinsamen Forschungsprojektes kann mit der Firma deBAKOM aus Odenthal der neu entwickelte Algorithmus getestet und mit dem vorhandenen Verfahren (Methode 2) der deBAKOM verglichen werden.

Methode 1

Die verwendete Musteranalyse arbeitet mit einem Vergleich mehrerer spektraler und temporaler akustischer Eigenschaften die als Merkmale zur Identifikation von Audiosignalen dienen. Untersuchungen mit verschiedenen akustischen Merkmalen zeigten [1], dass sich einige besonders gut zur Identifikation von Flugzeuggeräuschen eignen. Folgende Merkmale wurden zur Identifikation verwendet:

- spektraler Schwerpunkt
- spektrale Wölbung und Schiefe
- Linear Predictive Coding: Schwerpunkt und Schwankung
- MFCC (Mel Frequency Cepstral Coefficients)

Die Verwendung von MFCC stellt sich als besonders günstig heraus. Werden bestimmte Koeffizienten der MFCC verwendet, so erhält man einen Merkmalsvektor, welcher eine gute Unterscheidung von Flugzeuggeräusche und anderen Geräuschklassen ermöglicht.

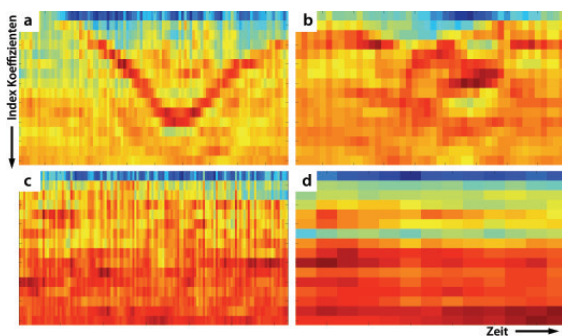


Abbildung 1: MFCC aus verschiedenen Klassen (a: Flugzeug, b: Auto, c: Zug, d: Hintergrund) – Dargestellt sind jeweils 18 Koeffizienten, aufgetragen über der Zeit.

Methode 2

Die derzeit in der Praxis eingesetzte Methode zur automatischen Erkennung von Fluglärm ist ein 3-stufiges Verfahren, das auf der spektralen Struktur und dem typischen zeitlichen Verlauf von Flugzeuggeräuschen, wie er z.B. in der DIN 45643 beschrieben ist, beruht. Die ersten beiden Stufen der Erkennung nutzen die spektrale Struktur des Fluglärms zur Identifikation. In der ersten Stufe erfolgt die Zuordnung anhand des Gesamtspektrums, während in der zweiten Stufe eine detailliertere Erkennung anhand einer Korrelationsanalyse mit Musterspektren erfolgt. Diese Musterspektren werden anhand von Audioaufzeichnungen aus für den Messort typischen Fluglärmereignissen erstellt.

Da die spektrale Struktur von Fluglärmgeräuschen stark variiert, d.h. auch vom jeweiligen Messort abhängig ist, ist eine individuelle Anpassung der Muster an den Messort erforderlich. Dies kann entweder vorab erfolgen, falls bereits Audioaufzeichnungen vorliegen, oder die Zuordnung wird nach der Messung durchgeführt. In beiden Fällen erfolgt die Erkennung mit Stufe 1, die bereits eine gute Erkennung zulässt. Die Bestimmung des Fluglärmpegels erfolgt in der Regel ereignisorientiert, d.h. Fluglärm ist auf eine kurze Zeitspanne beschränkt. Diese Tatsache wird im dritten Teil der Fluglärm-erkennung verwendet, indem aus dem Pegel-Zeitverlauf Ereignisse heraus gefiltert werden, die der typischen zeitlichen Struktur des Fluglärms am Messort entsprechen. Dies sind z.B. die Dauer des Ereignisses, die sogenannte t10-Zeit oder typische Pegelhöhen. Damit stehen für die Zuordnung zwei Kriterien zur Verfügung: Das Geräusch entspricht in seiner spektralen Struktur Fluglärm und die zeitliche Struktur entspricht den Fluglärmgeräuschen.

Beispiele aus der Praxis

Die Tabelle in Abbildung 2 zeigt ein Beispiel für die automatische Fluglärm-erkennung. Das Messsystem wurde im August 2010 in Neu-Isenburg (Flughafen Frankfurt) eingerichtet. In der Tabelle sind die Pegelwerte sowie die Anzahl von Fluglärmereignissen in einem Erfassungszeitraum von 5 Monaten mit automatischer (deBAKOM) und manueller Auswertung dargestellt. Für den Monat August wurden dabei lediglich Stufe 1 und Stufe 3 der Erkennung eingesetzt. Ab September auch Stufe 2. Wie der Tabelle zu entnehmen ist, zeigen die Pegel der beiden Auswertungen nur geringe Abweichungen. Bei der Anzahl der zugeordneten Ereignisse hingegen ergeben sich größere Diskrepanzen, die vor allem durch Ereignisse mit kleinen Pegeln nahe der Schwelle verursacht werden.

		Ld dB(A)	Ln dB(A)	Anzahl Tag	Anzahl Nacht
August 2010	deBAKOM	59,7	53,9	10617	1390
	manuell	59,2	53,2	8623	1124
	Differenz	0,5	0,7	1994	266
September 2010	deBAKOM	60	53,6	12744	1583
	manuell	59,8	53,4	11175	1504
	Differenz	0,2	0,2	1569	79
Oktober 2010	deBAKOM	60,3	55,7	11994	1710
	manuell	60,1	55,4	11012	1649
	Differenz	0,2	0,3	982	61
November 2010	deBAKOM	60,2	55,4	11635	1514
	manuell	59,9	55,2	10544	1466
	Differenz	0,3	0,2	1091	48
Dezember 2010	deBAKOM	58,8	54,4	10013	1577
	manuell	58,8	54,3	9479	1529
	Differenz	0	0,1	534	48

Abbildung 2: Vergleich der Messungen in Neu-Isenburg zwischen manueller und automatischer Auswertung. Für September wurde eine Musteranpassung vorgenommen, die dazu führte, dass die Differenz zwischen automatischer und manueller Erkennung kleiner wird.

Im folgenden Beispiel befand sich die Messanlage im Unterschied zum vorigen Szenario direkt an der Straße, so dass die Pegelaufzeichnungen eine Mischung aus Straßenverkehr und Fluglärm darstellen. In der folgenden Grafik sind für 2 Tage die anhand verschiedener Verfahren ermittelten Fluglärmpegel, so wie der errechnete Mittelungspegel gegenübergestellt.

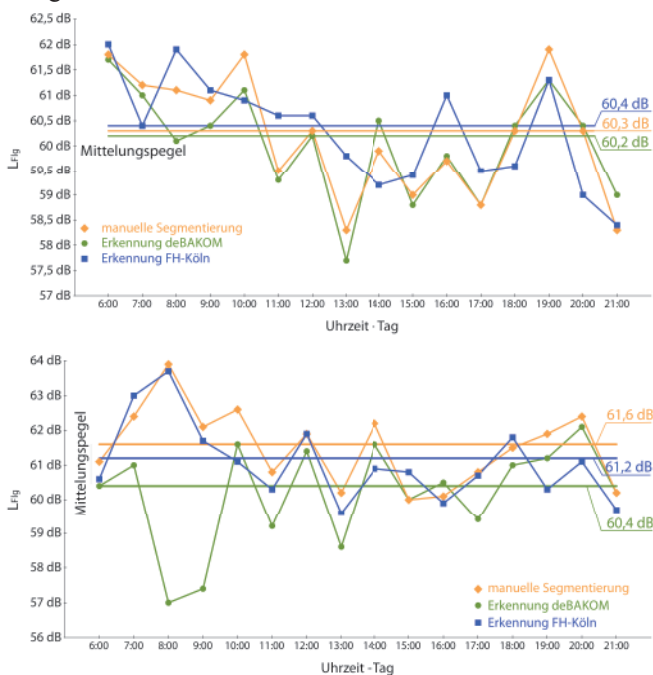


Abbildung 3: Auswertung der Messdaten. Vergleich von Methode 1, Methode 2 und manueller Auswertung. Oben: 23.10.08 (Tag ohne Regen) • Unten: 27.10.08 (Tag mit Regen). Ohne Regen ist die Abweichung der Mittelungspegel nur gering. Erhöht sich durch Regen jedoch das Hintergrundgeräusch, so wird die Erkennung schlechter und der Mittelungspegel weicht stärker ab.

Die folgenden Abbildungen zeigen den Pegel-Zeitverlauf für einen Zeitabschnitt mit wenig KFZ (5-6 Uhr) und einen Abschnitt mit deutlich mehr Fremdgeräuschen (15-16 Uhr). In Abbildung 4 (unten) ist deutlich zu erkennen, dass eine ‚einfache‘ Zuordnung der Ereignisse – Fluglärm nicht mehr möglich ist.

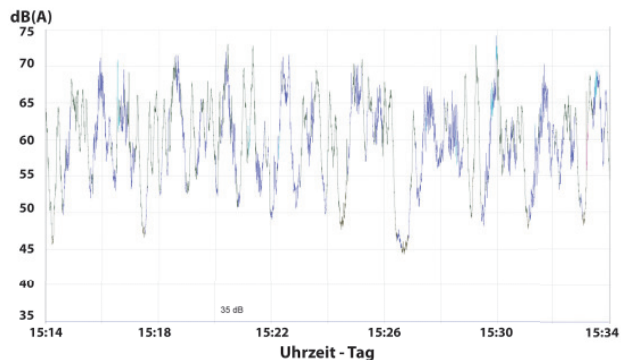
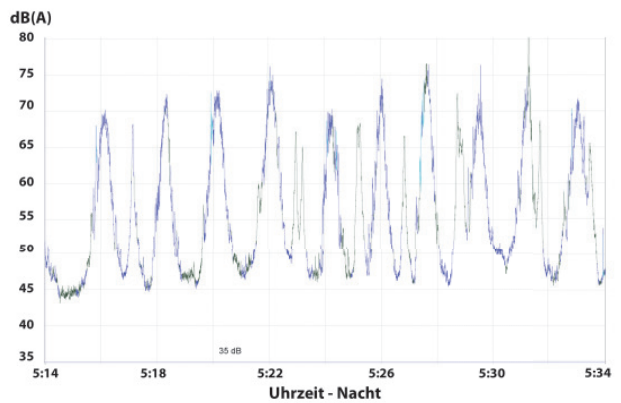


Abbildung 4: Pegelschrieb mit farblich markierter Erkennung der Klasse (blau: Flugzeug, grün: keine Erkennung) - Oben: Nacht • Unten: Tag

Diese Fluglärmereignisse sind auch manuell nicht ohne weiteres zu identifizieren, da es sich bei den Ereignissen um eine Mischung aus Fluglärm und anderen Lärmereignissen handelt. Dies ist mit ein Grund, weshalb in einzelnen Stunden zum Teil größere Abweichungen zwischen den Pegeln aus den drei Verfahren auftreten (Abb. 3). Da der Fluglärmpegel jedoch nicht auf Stundenbasis, sondern anhand eines Langzeitmittelungspegels über 6 Monate bestimmt wird, ist die automatische Erkennung geeignet, Fluglärmereignisse und deren Pegel zu ermitteln (Abb. 2).

Fazit

Bei dem Vergleich der vorgestellten Methoden sind nur geringe Abweichungen im Mittelungspegel zu beobachten. Betrachtet man den Pegel bei dem Vergleich der unterschiedlichen Methoden, so ergeben sich nur geringe Abweichungen beim Mittelungspegel. Allerdings gibt es eine größere Abweichung bei der Betrachtung der Anzahl der erkannten Ereignisse. Die Ursache für die Abweichung liegt maßgeblich an dem gleichzeitigen Auftreten verschiedener Geräuschklassen am Messort. Fluglärmernennung ist jedoch nur ein Beispiel für die Mustererkennung. Die Verfahren sollen nicht nur für Fluglärm, sondern auch für andere Geräushtypen (Straße, Bahn, Industrie etc.) eingesetzt werden.

Literatur

- [1] D. Hemmer, C. Pörschmann (2010). Testsystem zum Vergleich verschiedener Parameter zur Verbesserung der Erkennungsleistung bei der Flugzeuggeräuschidentifikation. In: Fortschritte der Akustik - DAGA 2010, DEGA e.V., D - Oldenburg, pp. 829-830